

QM2014

Theoretical summary of Collective dynamics &Correlations and fluctuations

@HIP・HIC合同, Nagoya, 2014-06-06

Koichi Murase
University of Tokyo,
RIKEN Nishina Center,
Sophia University

INTRO

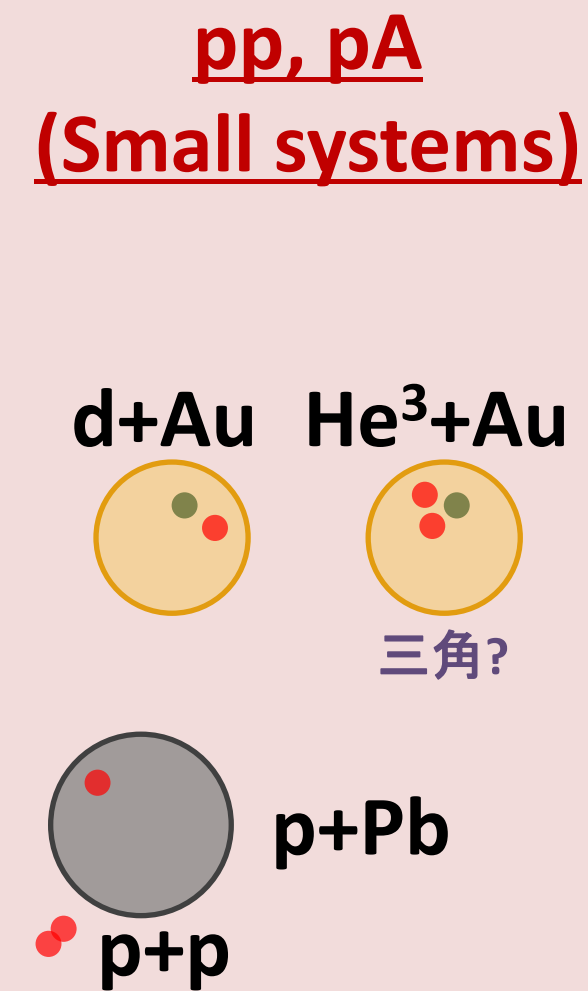
色々な衝突

system size

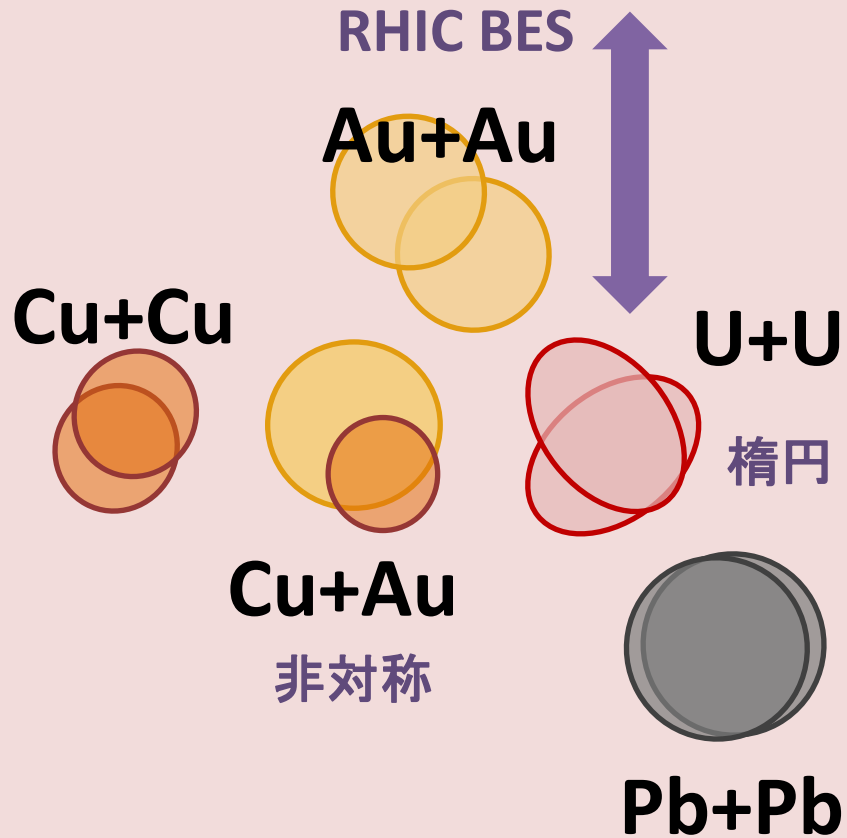
vs

RHIC

LHC

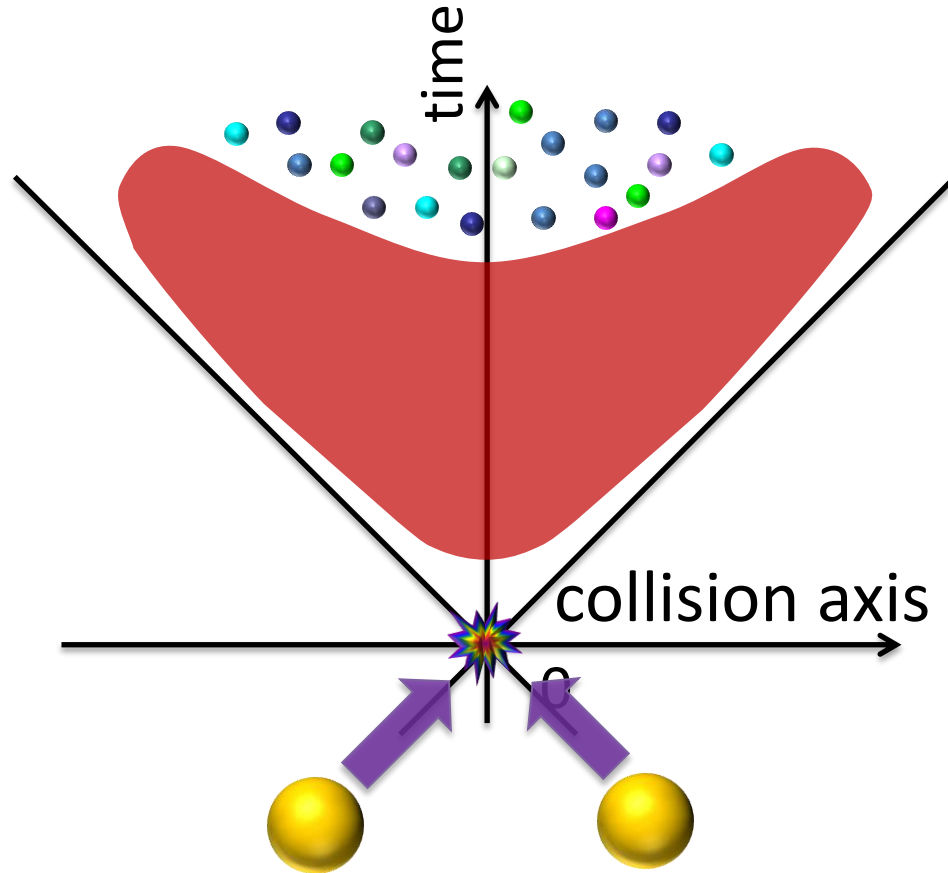


AA (Heavy-ion collision)



現在のモデル

重イオン衝突反応の過程



測定量・統計量

$p_T, v_n, \Psi_n, r_n, \dots$



ハドロンカスケード

運動論、freeze-out



散逸流体

$\eta/s, \zeta/s$, 熱揺らぎ



初期状態

模型: Glauber, CGC, IP-Glasma

Talks 俯瞰

① Small system: pA, dA ...

集団的な振る舞い? どう解釈するか Basar, ...

– 流体? Bozek, Schenke, Romatschke, ...

– CGC/Glasma? Venugopalan, Dusling, Shuryak, Gyulassy, ...

② Ultracentral v2, v3 Denicol

③ Beam Energy Scan, CuAu, UU Auvinen, Tribedy, ...

④ 熱揺らぎ・電荷揺らぎ Kapusta, Hirano, Kitazawa, ...

⑤ HBT 相関 (物質の大きさ) Sinyukov, Csernai, ...

⑥ 粘性流体、運動論 Rolando, Nonaka, Greiner, Bratkovskaya

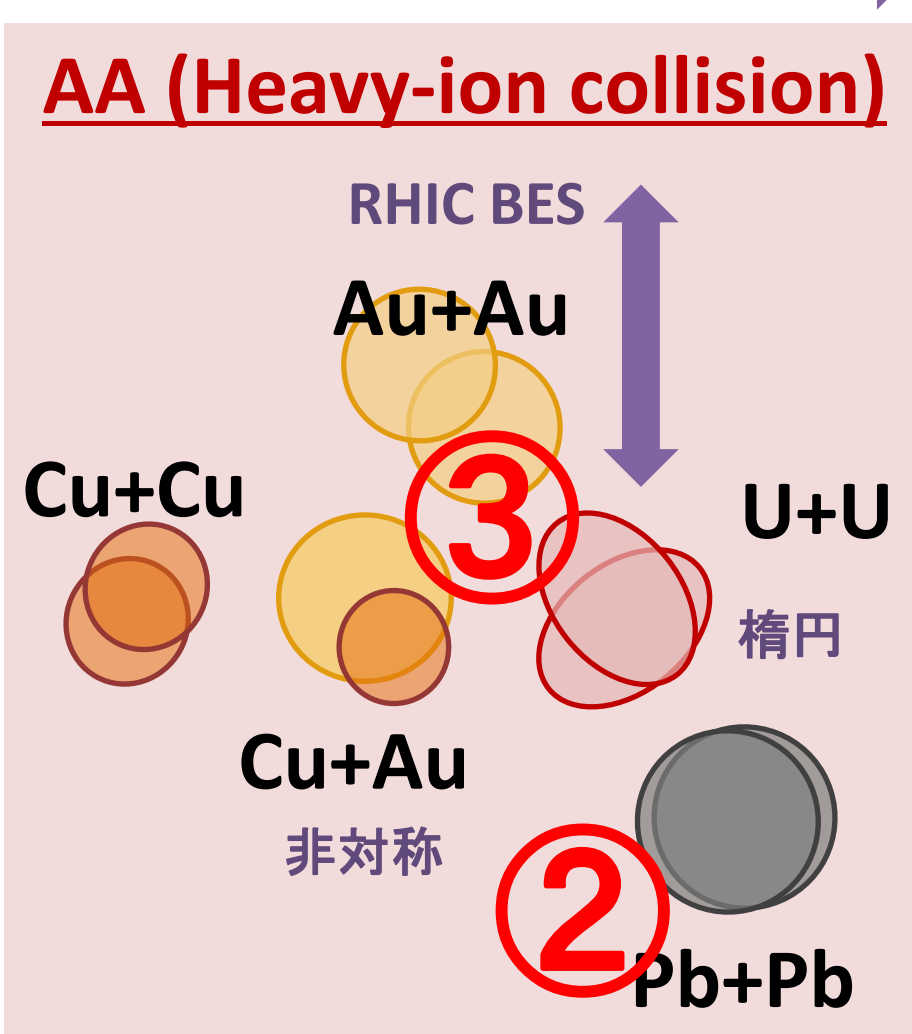
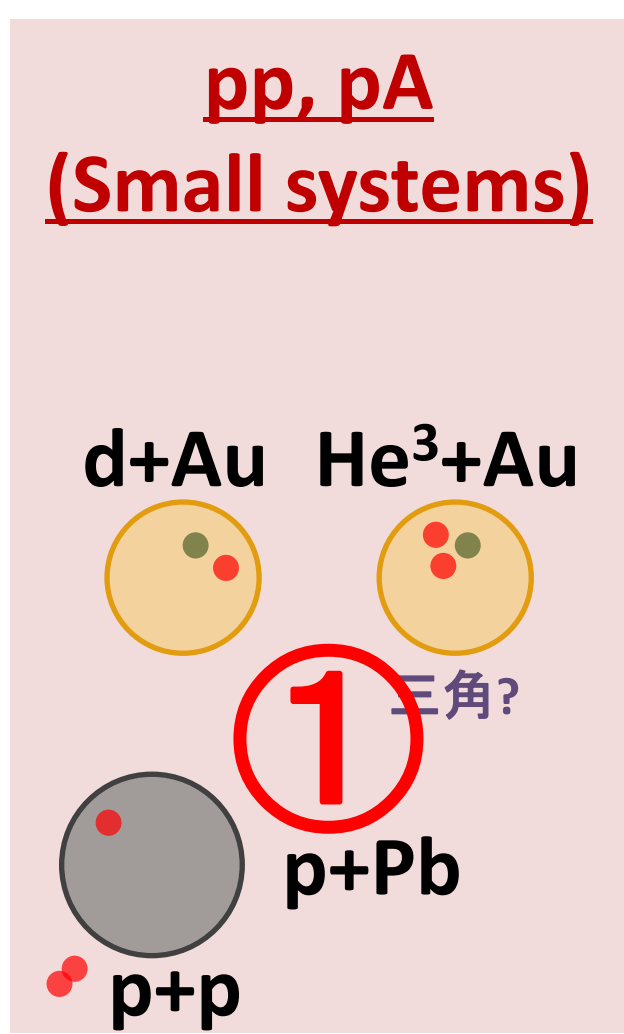
⑦ フロー・相関 L. Yan, Florchinger, Kozlov, ...

⑧ 他 Heinz, Gursoy

色々な衝突

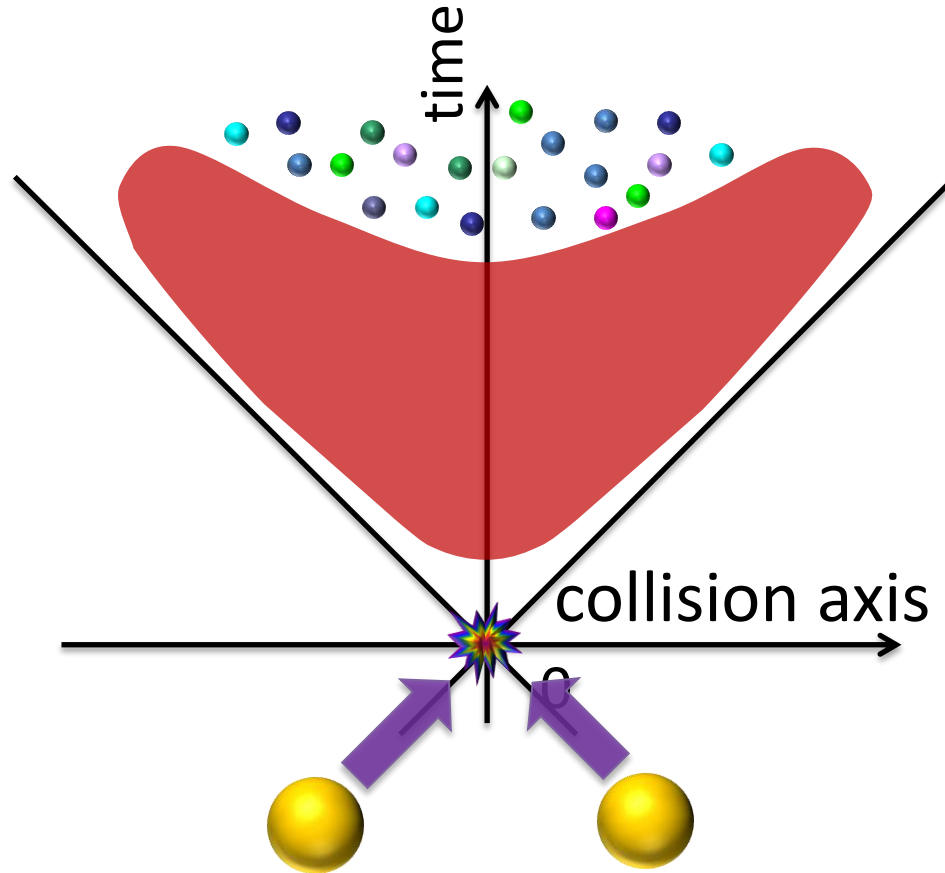
system size

vs



現在のモデル

重イオン衝突反応の過程



測定量・統計量

⑦

$p_T, v_n, \Psi_n, r_n, \dots$

ハドロンカスケード

⑥

運動論、freeze-out

⑧

散逸流体

$\eta/s, \zeta/s$, 熱揺らぎ

⑤

④

初期状態

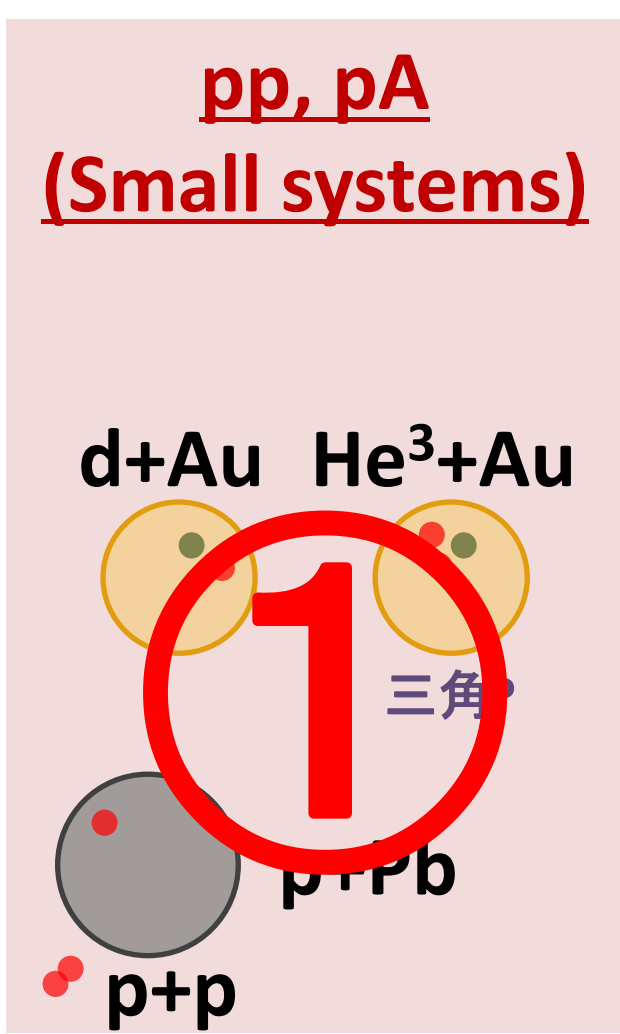
模型: Glauber, CGC, IP-Glasma

いくつか紹介

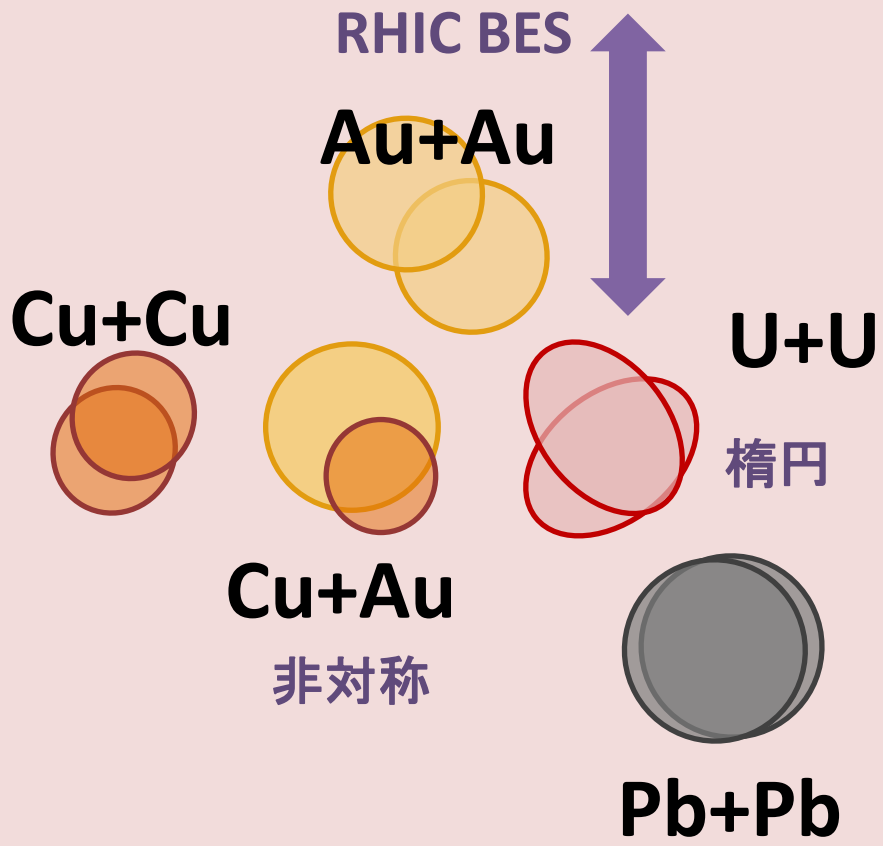
色々な衝突

system size

vs

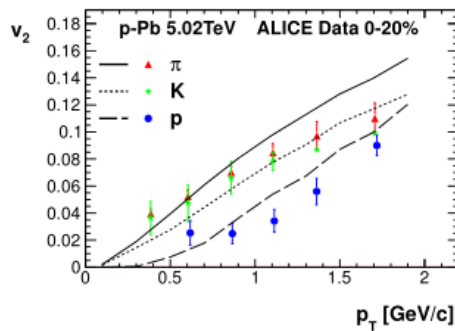
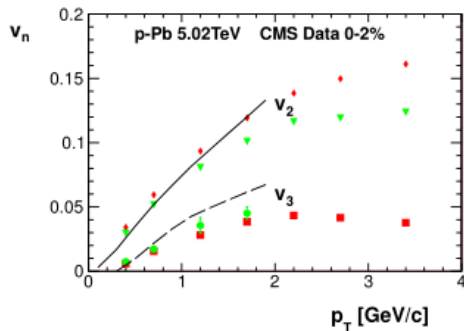


AA (Heavy-ion collision)

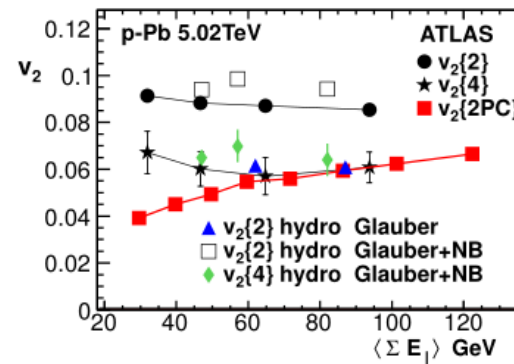


Collective flow in small systems

Elliptic and triangular flow



PB, Broniowski, Torrieri arXiv:1306.5442



PB, Broniowski, arXiv:1304.3044

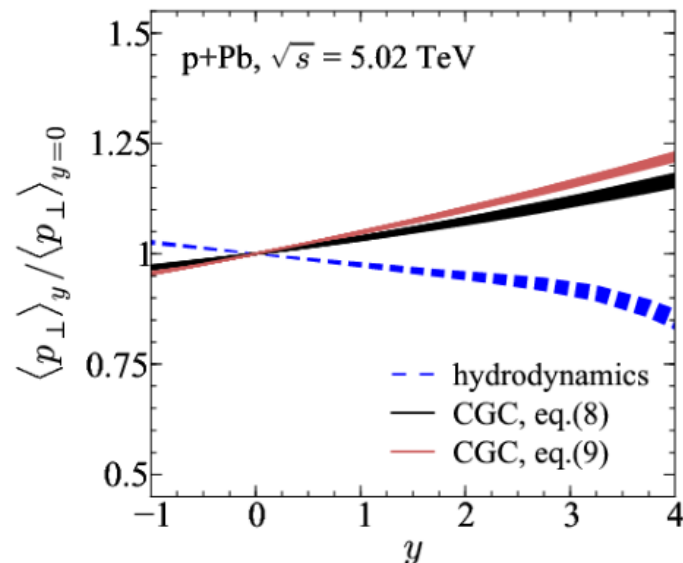
- ▶ elliptic and triangular flow
- ▶ mass hierarchy of v_2

v_2, v_3 大きさ @pPb : 流体で大体合う

※初期条件を Glauber + NBD (量子揺らぎ) にしないと小さい

Collective flow in small systems

$\langle p_\perp \rangle$ rapidity dependence



different prediction of CGC and hydro

PB, Bzdak, Skokov, 1309.7358

$\langle p_T \rangle$ ラピティ依存性
流体と CGC で逆の振る舞い

A scaling relation between proton-nucleus and nucleus-nucleus collisions

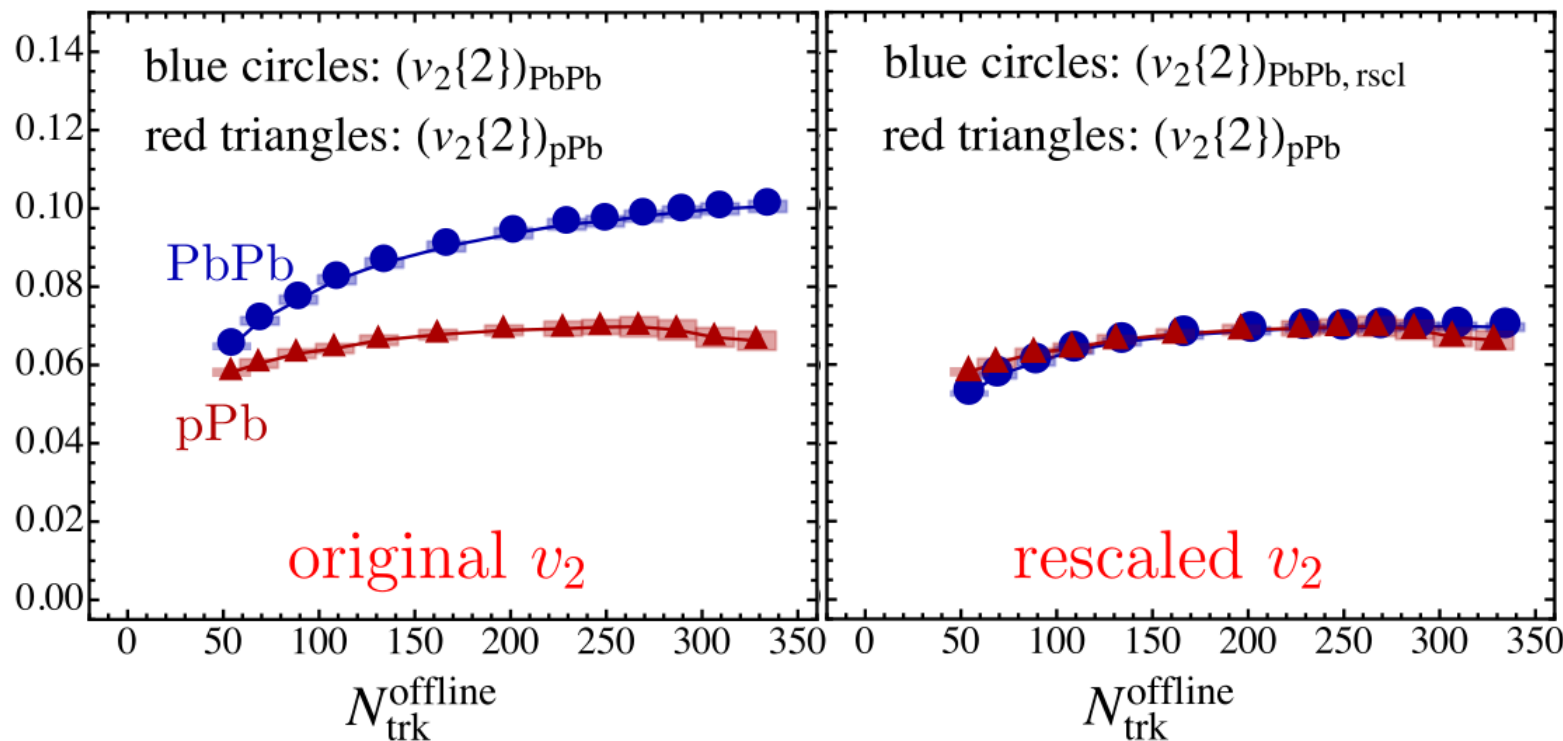
- ▶ Eccentricity in AA: $\langle \epsilon_2^2 \rangle_{AA} = \underbrace{\epsilon_s^2}_{\text{average}} + \underbrace{\langle \delta \epsilon_2^2 \rangle}_{\text{fluctuations}}$
- ▶ Eccentricity in pA: $\langle \epsilon_2^2 \rangle_{pA} = \underbrace{\langle \delta \epsilon_2^2 \rangle}_{\text{fluctuations}}$

⇒ To compare the v_2 s, scale out the average geometry from AA:

$$(v_2\{2\})_{\text{PbPb,rscl}} \equiv \sqrt{1 - \frac{\epsilon_s^2}{\langle \epsilon_2^2 \rangle_{PbPb}}} (v_2\{2\})_{\text{PbPb}}$$

$v \propto \epsilon$ と仮定 → 平均的成分を消す様に v を rescale
綺麗に一致する

A scaling relation between proton-nucleus and nucleus-nucleus collisions

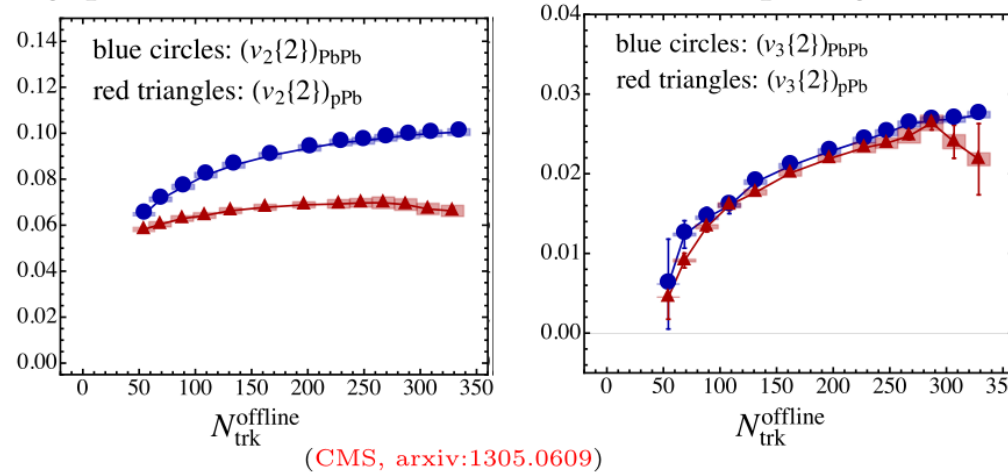


$v \propto \varepsilon$ と仮定 \rightarrow 平均的成分を消す様に v を rescale
綺麗に一致する

A scaling relation between proton-nucleus and nucleus-nucleus collisions

Motivation and introduction

The two particle correlations show a striking similarity between high multiplicity pA and AA collisions at fixed multiplicity.



Question: Do they originate from the same physics?

Idea: They both emerge from a *collective response* to the geometry dictated by $\frac{l_{mfp}}{L} = f(dN/dy)$.

CMS PbPb/pPb v2, v3: v2 の違いは平均的形の違い

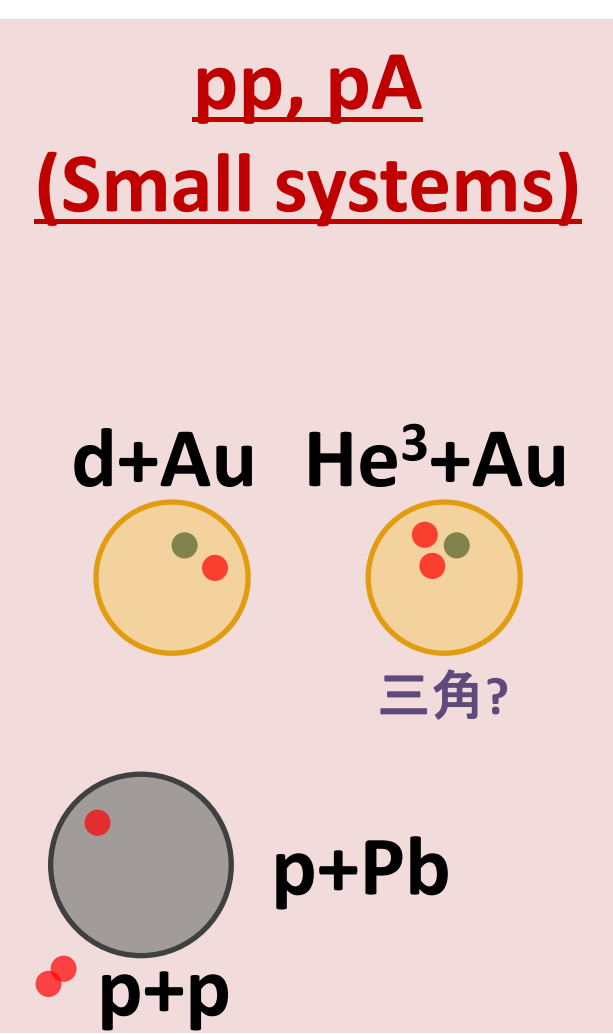
色々な衝突

system size

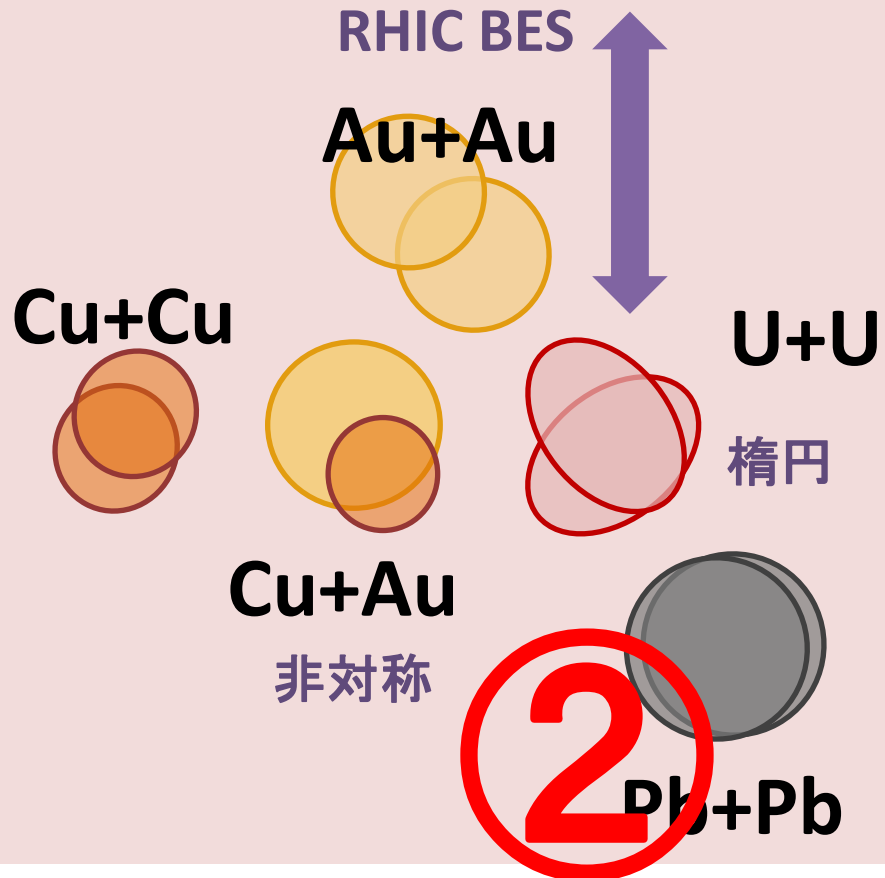
vs

RHIC

LHC



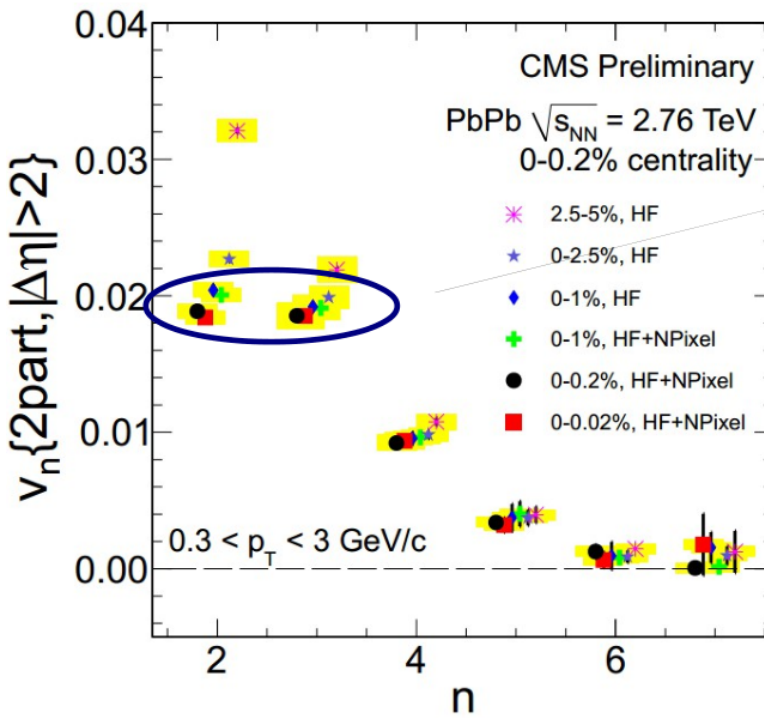
AA (Heavy-ion collision)



Extracting the bulk viscosity of the quark-gluon plasma

Issue with ultracentral data

- Nonhydrodynamic(?) behaviour in ultracentral PbPb collisions



In ultracentral collisions

$$v_2 \sim v_3$$

This starts to happen in ~ 0-1% centrality class

hard to understand
with hydrodynamical
simulations

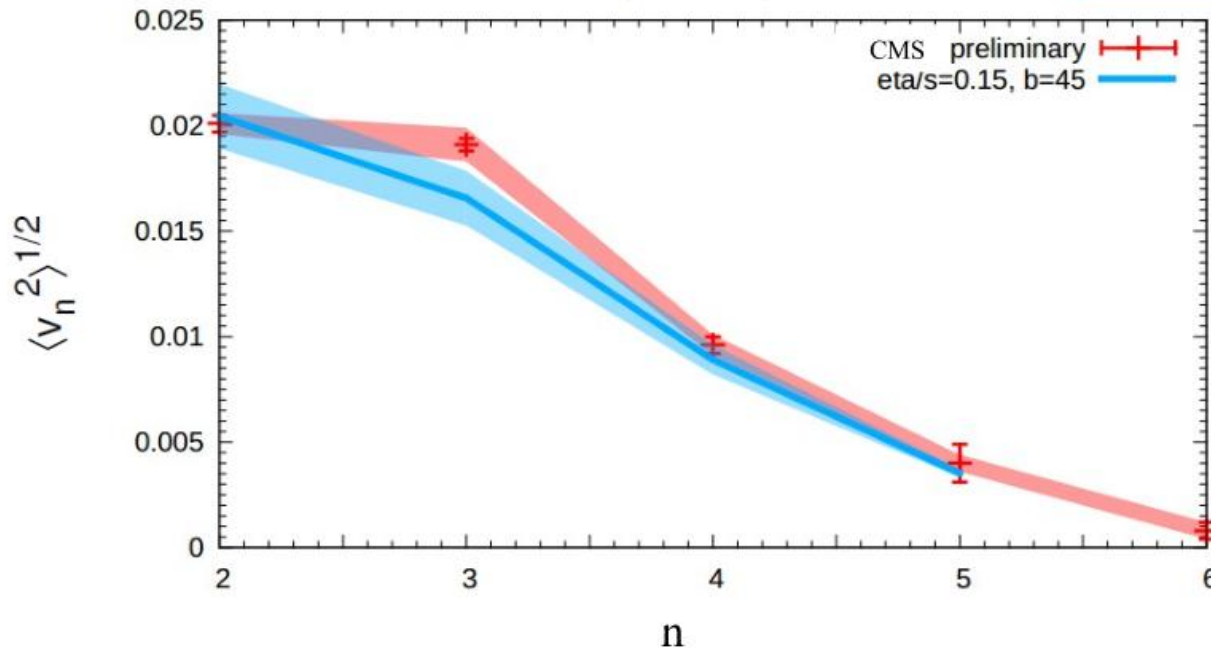
but may provide better
constraint for bulk viscosity ...

Extracting the bulk viscosity of the quark-gluon plasma

Bulk viscosity + correlations - IPGlasma **MUSIC 2.0**

$$\frac{\zeta}{s} = b \times \frac{\eta}{s} \left(\frac{1}{3} - c_s^2 \right)^2$$

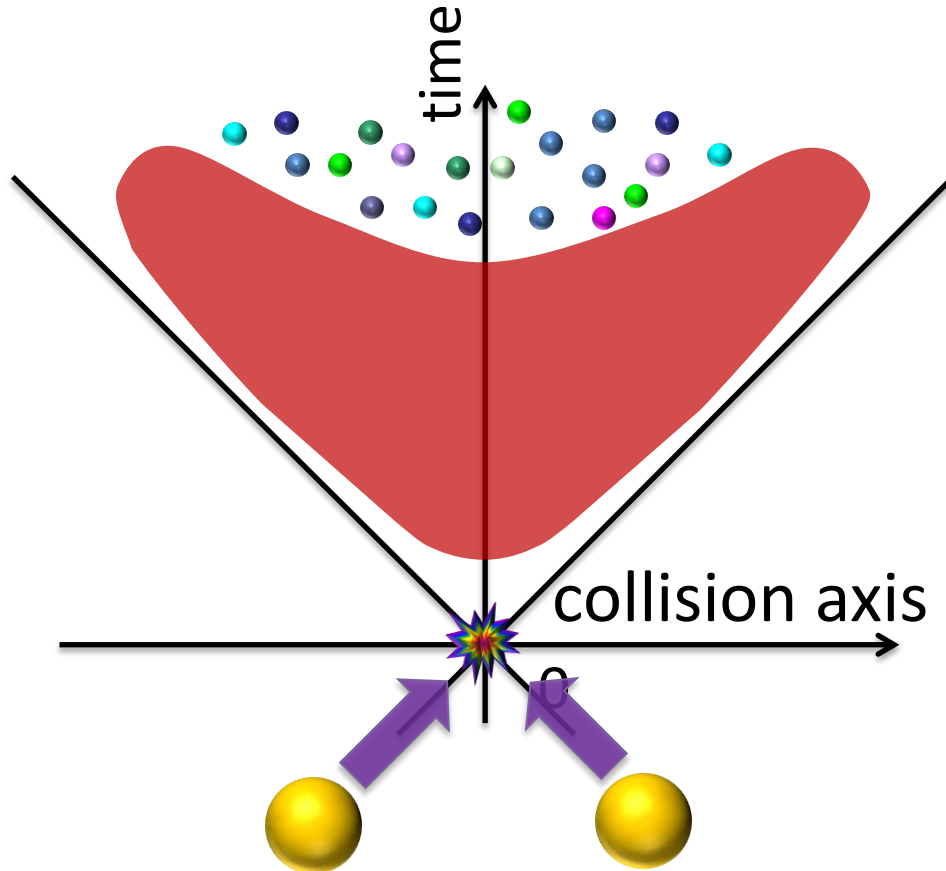
0-1% - LHC



ζ/s と初期条件の核子相関を入れると改善する

現在のモデル

重イオン衝突反応の過程



測定量・統計量

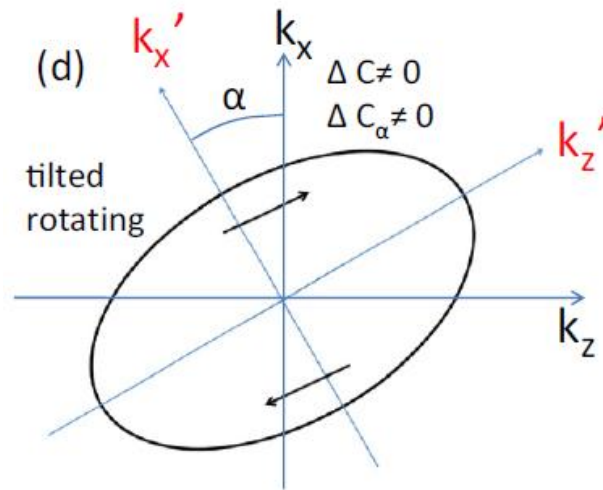
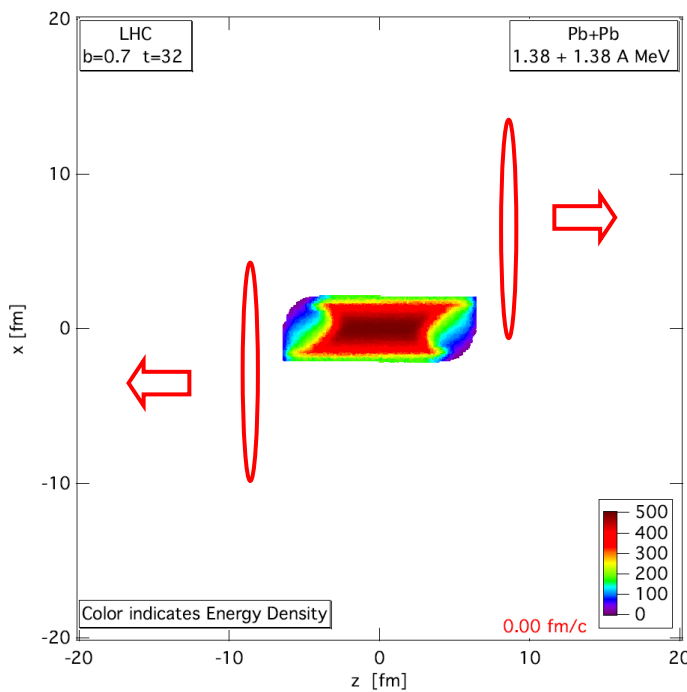
p_T , v_n , Ψ_n , r_n , ...

ハドロンカスケード
運動論、freeze-out

散逸流体
 η/s , ζ/s , 熱揺らぎ

初期状態
模型: Glauber, CGC, IP-Glasma

Differential HBT method to analyse rotation in heavy ion collisions



$$\Delta C(k, q) \equiv C(k_+, q_{\text{out}}) - C(k_-, q_{\text{out}}).$$

ΔC : k_+ k_- が対称なら 0

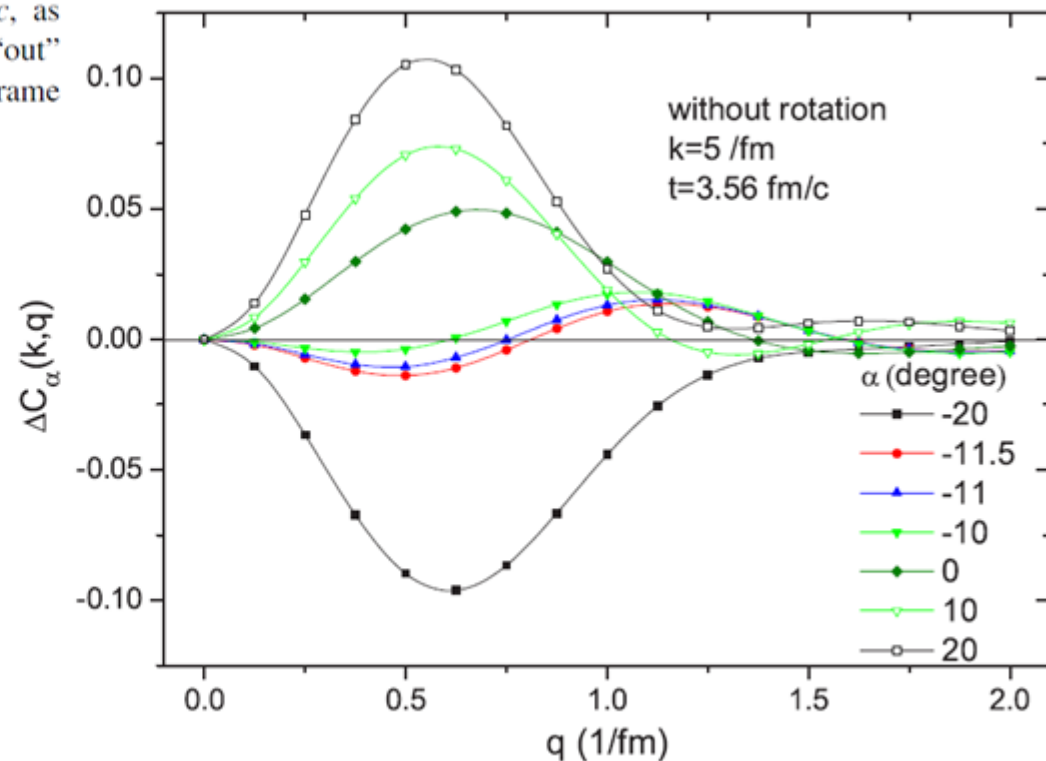
初期の流れにより物質が回転する?
実験的にその兆候を見るには?

Differential HBT method to analyse rotation in heavy ion collisions

$k = 5/\text{fm}$ and fluid dynamical evolution time $t = 3.56 \text{ fm}/c$, as a function of the functions of momentum difference in the “out” direction q (in units of $1/\text{fm}$). The DCF is evaluated in a frame rotated in the reaction plane, in the c.m. system, by angle α .

The DCF shows a minimum for $\alpha = -11^\circ$

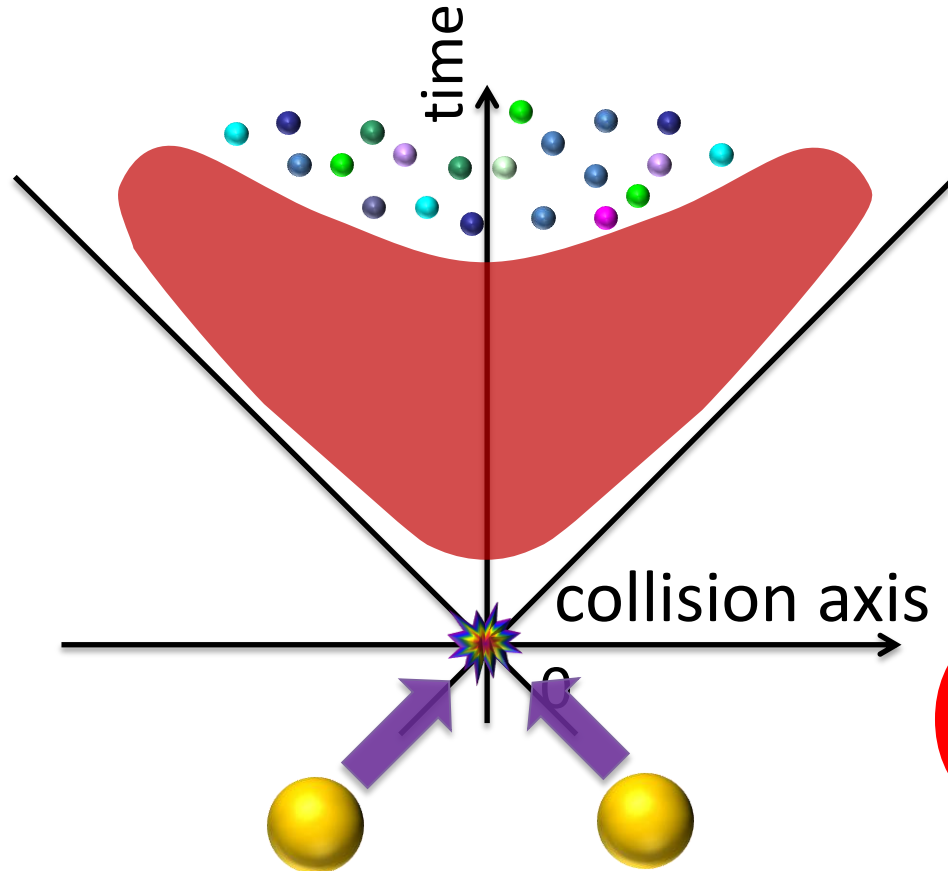
For lower, RHIC energy: $\alpha = -8^\circ$



△C が 0 に近くなる様に角度を調整する
 → 物質がどれだけ回転したか分かる ~ 8度

現在のモデル

重イオン衝突反応の過程



測定量・統計量

p_T , v_n , Ψ_n , r_n , ...



ハドロンカスケード

運動論、freeze-out



散逸流体

η/s , ζ/s , 熱揺らぎ

⑧

初期状態

模型: Glauber, CGC, IP-Glasma

Viscous hydrodynamics for systems undergoing strongly anisotropic expansion

Viscous anisotropic hydrodynamics (VAHYDRO) (I)

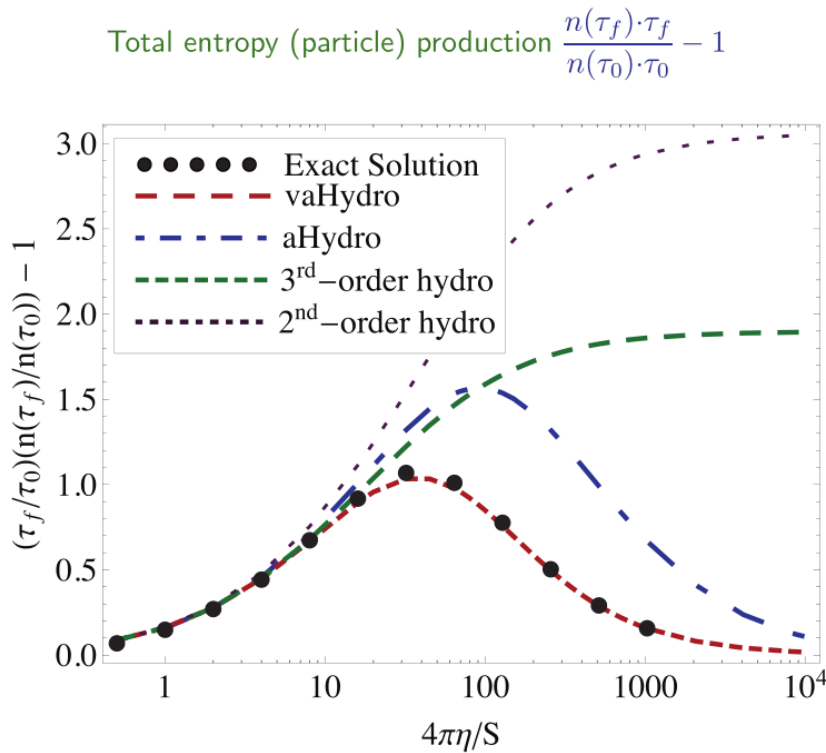
$$f(x, p) = f_{\text{RS}}(x, p) + \delta \tilde{f}(x, p) = f_{\text{iso}} \left(\frac{\sqrt{p_\mu \Xi^{\mu\nu}(x)p_\nu} - \tilde{\mu}(x)}{\Lambda(x)} \right) + \delta \tilde{f}(x, p)$$

Boltzmann → 初期の急激な膨張下での流体

aHydro: 衝突軸方向に歪んだ運動量分布

vaHydro: 更に、2次の粘性の効果を分布関数に取り入れる

Viscous hydrodynamics for systems undergoing strongly anisotropic expansion

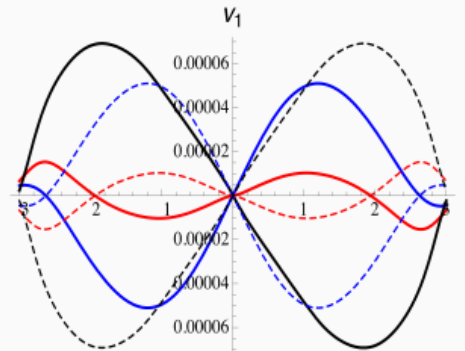
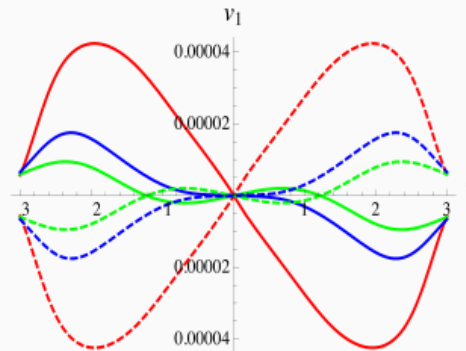


粒子数生成(エントロピー生成) vs η/s :
vaHydro で Boltzmann の厳密解と一致

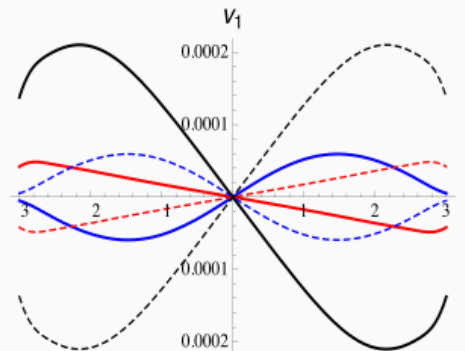
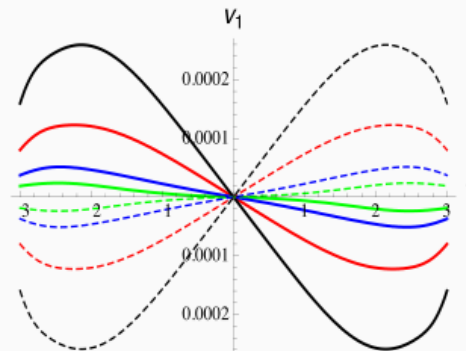
Magnetohydrodynamics, charged currents and directed flow in heavy ion collisions

Predictions for charge identified v_1

- Pions and protons at LHC



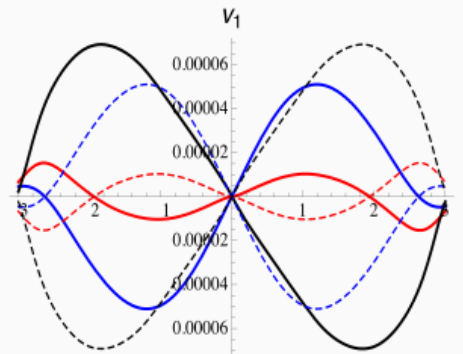
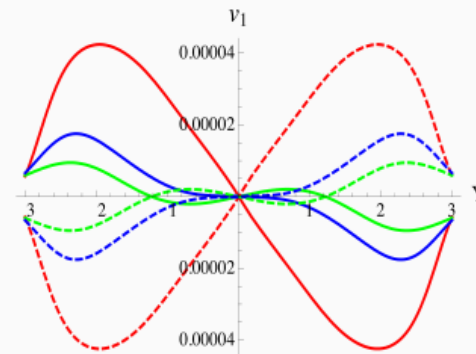
- Pions and protons at RHIC



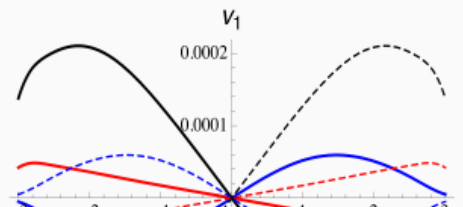
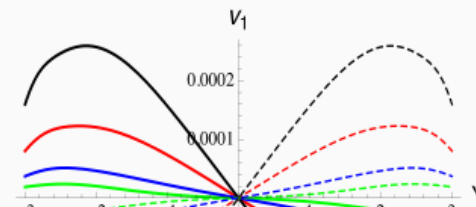
Magnetohydrodynamics, charged currents and directed flow in heavy ion collisions

Predictions for charge identified v_1

- Pions and protons at LHC



- Pions and protons at RHIC



magnetohydro, 時空に依存した磁場 B
 v_1 ラピディティ依存性に面白い構造

その他

最近の事がよくまとまっていると思うスライド

- H. Niemi (5月23日プレナリー, 12番目)
特に後半部分
- H. Petersen (Student day 5月18日B, 1番目)
所々にある Summary スライド

これから

重イオン動的模型の今後?

- η/s 温度依存性, ζ/s , κ , τ_R , etc.
- より簡単なモデル・パラメータ制限:
(各パラメータセット毎の事象毎計算を避ける)
- 初期状態
 - 核子自身の形・揺らぎ → 特に pA
 - 核子の位置相関
 - $\pi^{\mu\nu}$, Π の初期条件
 - IP-Glasma など Classical Yang-Mills dynamics
- 統計量
 - r_n (運動量毎の v_n の相関係数)
 - 様々な揺らぎ起源 $\rightarrow P(\{v_n\}, \{\Psi_n\}) \rightarrow$ 様々な相関
 - 衝突軸方向の事象平面の捩れ $\Psi_n^P \neq \Psi_n^N$
- 電磁流体、揺動流体、pA

